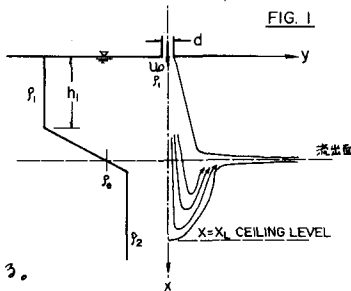


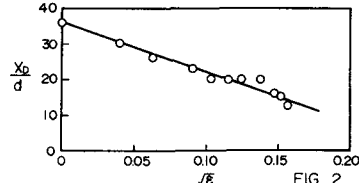
北海道大学工学部 正員 ○ 枝倉 忠興
 〃 岸 力
 不動建設株式会社 〃 安藤 裕

概説 成層 2 層流体中に表層と同じ密度を持つ円形の鉛直下向噴流が流入する場合について、噴流の挙動及び表層密度の増加機構を実験的に検討した。図-1は流況の略図である。

直径 d の噴流は初速 U_0 で流入し表層中では自由噴流と同様の挙動を行なう。噴流が躍層又は下層に達すると密度の大きな流体との混合によって噴流自身の密度も増大するが、周囲の流体の浮力を受けて噴流の運動量と衡合う位置まで貫入する。その後噴流は上昇し始め周囲の流体と等しい密度の位置(流出面)に達すると薄層を形成しながら横方向に拡がり軸対象の内部波が発生する。表層流体が有限の場合にはこの過程が繰り返し流出面は次第に上昇する。



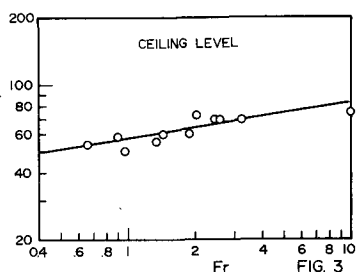
1. 流速分布 本研究の噴流は自由噴流と床版を有する噴流の中間的特性を示すであろうことが予想される。実測の結果では自由噴流との最も特徴的な相違点は——噴流の中心流速が $U_c \propto x^{\frac{1}{2}}$ の D 領域の後に流速の減衰が急激な D 領域が明瞭に存在する。また D 領域の始まりまでの距離 x_0 は $\epsilon = \frac{\rho_2 - \rho_1}{\rho_1}$ と良い相関が見られ $x_0 \propto \epsilon^{1/2}$ である。(図-2) x_0 と後述の ceiling level までの距離 x_L との関係は $x_0/x_L \approx 0.3$ を得た。土屋らの床版を有する二次元噴流の研究では床版の効果は床版までの距離の 0.7 倍から出現すると報告された。横断方向の流速分布は自由噴流と同様に相似が保たれ、分布型も同様であるが、噴流幅については特に D 領域における増大が著しい。



2. 最大貫入深 (ceiling level) 負の浮力を受ける plume 等の ceiling level に関する一般的な内部フルード数 $U_0/\sqrt{egh_i(h_1/d)}$ によって検討されており、これは表層厚 h_1 の効果を取り入れたフルード数を定義して実測値の整理を行ない、図-3の結果を得た。図中の直線は(1)式である。

$$x_L/d = 57 F_n^{\frac{1}{6}}, \quad F_n = U_0 / \sqrt{e g h_i (h_1/d)} \quad (1)$$

Norton²⁾ は一様密度勾配の流体中で前記のフルード数で $x_L \propto F_n^{\frac{1}{2}}$ を得てある。



3. 内部波 表層、下層とともに静止で一様流のオランジアルを持たない完全な 2 層流体中の内部波を考え、底面と自由水面は静止、境界面では物質が一様で圧力が等しいとする、軸対称の内部波について(2)式を得る。

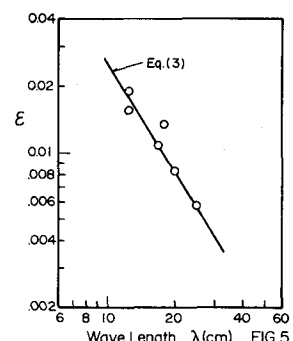
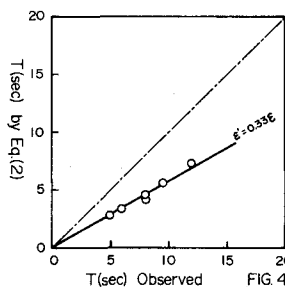
$$T = 2\pi / \left\{ \frac{\epsilon g k}{\coth(kh_1) + \frac{\rho_2}{\rho_1} \coth(kh_2)} \right\}^{\frac{1}{2}} \quad (2)$$

図-4は(2)式と実測値とを比較したものである。

この場合の実測値は完全な成層状態のものではないので、躍層の効果を考慮してその数値に $\epsilon' = \alpha \epsilon$ を補正を行なうと $\alpha = 0.33$ を得る。図中の実線はこの状態を示している。なお、

(2)式の計算上際しては $k = 2\pi/\lambda$ で波長入は実測値を用いた。図-4は ϵ と入との関係を示している。図中の直線は(3)式である。

$$\lambda = C_1 \epsilon^{-0.6} \quad (C_1 = 1.12 \text{ cm}) \quad (3)$$



(3)式の関係を(2)式へ代入し、 $\coth(kh_1) = \coth(kh_2) \approx 1$ および
 $g_2/g_1 \approx 1$ とすれば(4)式を得る。

$$T = C_2 \bar{E}^{0.8} \quad (C_2 = 0.21 \text{ sec}) \quad (4)$$

図-6は(4)式と実測値との比較を行なったものであり、良好相関が認められる。すなわち、内部波の波長および周期は \bar{E} による影響を非常に強く受けけるが、軸流速との関係は殆んどないと考えられる。

一方、内部波の波高は噴流軸からの距離と共に減少し、さらに噴流の軸流速 U_0 が 10^4 cm/sec程度、また、それが大の程減ずて安定状態となる。

4. 混合過程 図-7は密度分布の時間的変化を示したものであるが、

この様な変化の状況は噴流軸からの距離までは殆んど無關係に水槽全体に亘って一様である。

すなわち或る深さに密度の変化しない「流出面」が存在し、これが噴流軸上で割り出され上方へ運ばれる流体の密度と考えられる。この面の密度 ρ_e は(1)式の F_n と良好相関があり、図-8のようである。

ここで、混合量に関して図-9のようなモデルを考える。

流出面より上方では、最初の密度分布が流出面へ入ってきてある

一定密度 ρ_e を有する流体によって押上げられ、分布は上方へ並行移動する。

流出面へ入ってきてある流体の質量は $\rho_e d(H \cdot A) / dt$ である。

ただし、H: 分布の上昇量、A: 貯水槽面積。これを噴流の流入量 $\rho_i Q_j$ との比を考えると図-10に示した結果を得る。図中の△印の実測値は、混合が進行し罐底が水面近くまで達した場合のものであり、混合過程が上述のモデルと併異ることによる結果と考えられる。

図-8と図-10より、初期の密度分布を知れば、有限の大きさの貯水池における、下層密度流体の表面への混合量を推測することができる。

本研究の実験、計算には当時の当学科学生出口正明君に多大な協力を得た。また、本研究には文部省科学研究所費（水資源の効率的利用方法の開発に関する研究、代表者：岸 力）の援助を受けた。深く謝意を表します。

参考文献

- 1) 土屋昭彦・河野二夫：垂直噴流に及ぼす境界の影響、第20回、第21回土木学会年譲、1965, 1966。
- 2) Morton, B. R.: Forced Plumes, Jl. of Fluid Mech., Vol. 5, Part 1, 1959.
- 3) Abraham, G: Jets with Negative Buoyancy in Homogeneous Fluid, Jl. of Hyd. Res., Vol. 5, No. 4, 1967.
- 4) 土木学会編：水理公式集、1971。

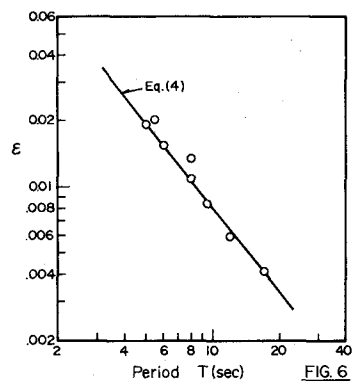


FIG. 6

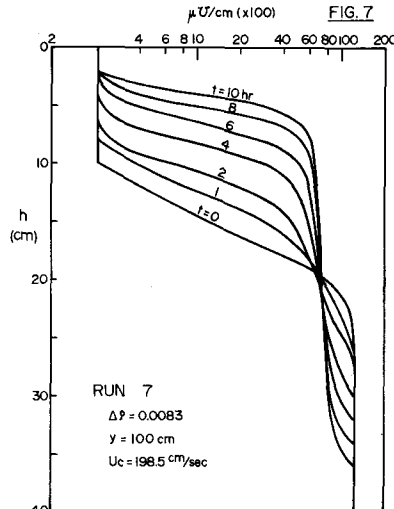


FIG. 7

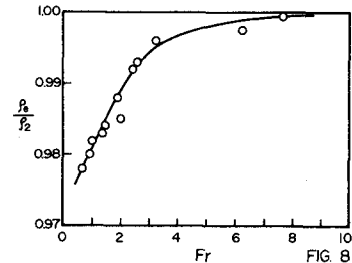


FIG. 8

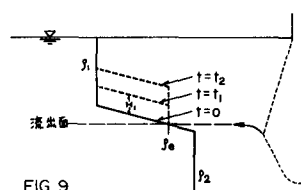


FIG. 9

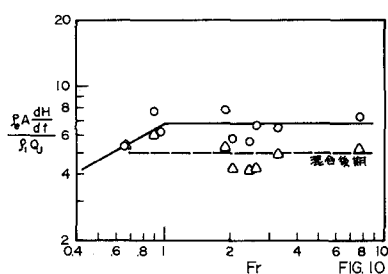


FIG. 10